

Fig. 7

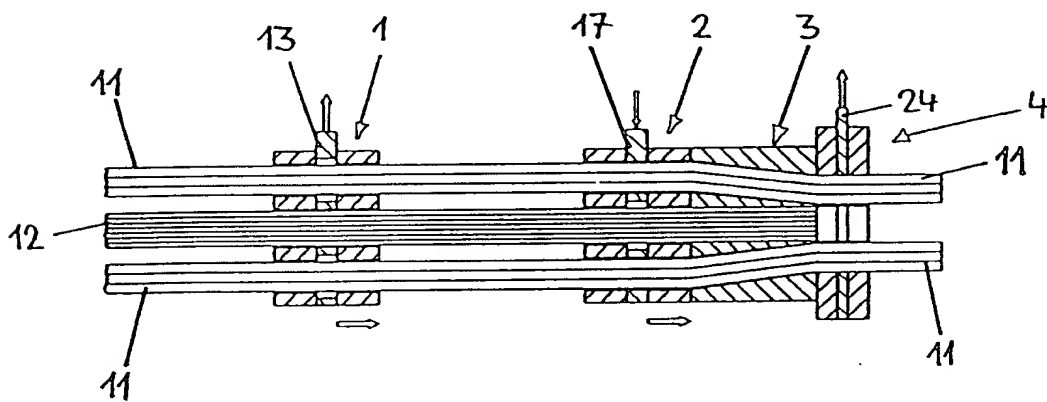


Fig. 8

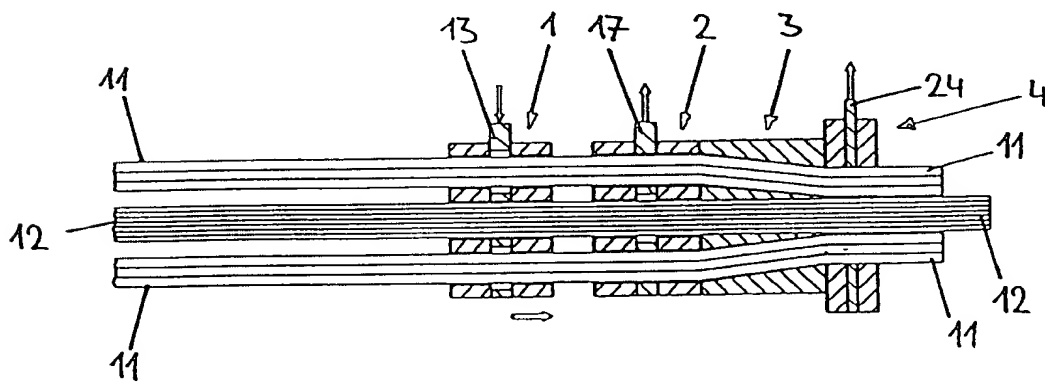
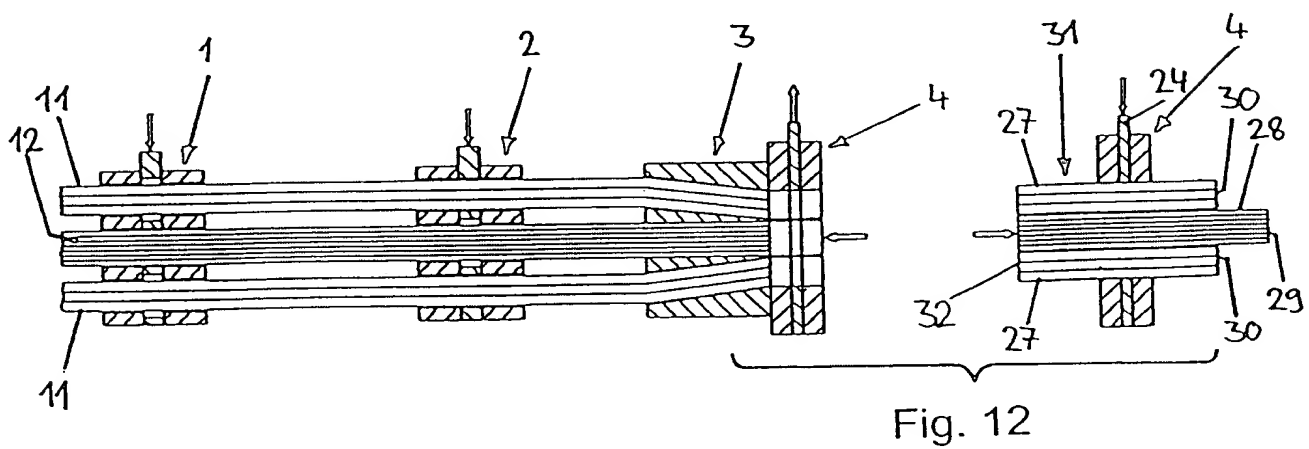
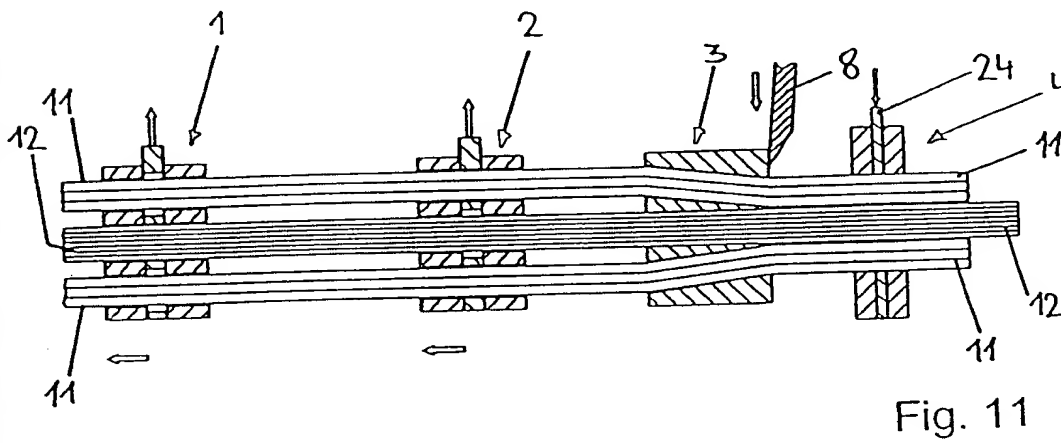
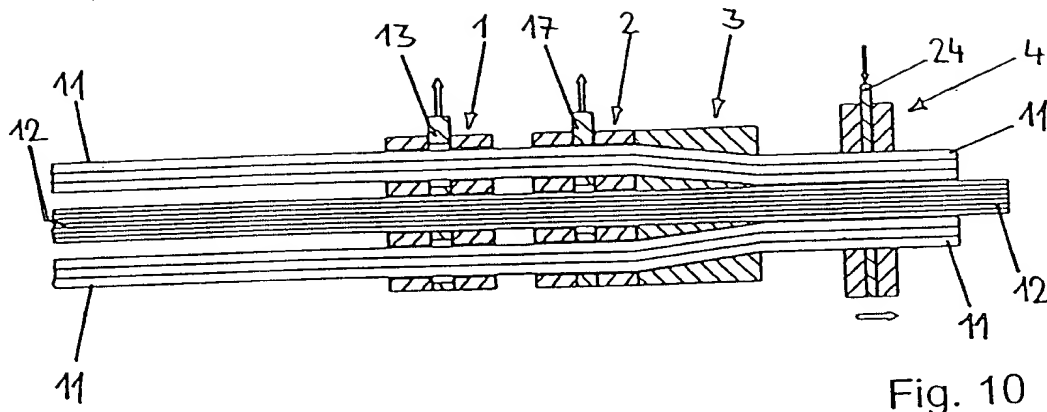


Fig. 9



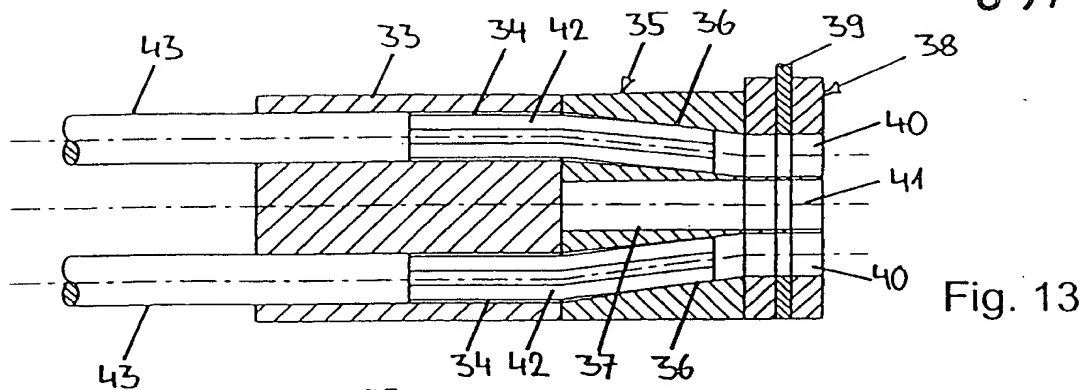


Fig. 13

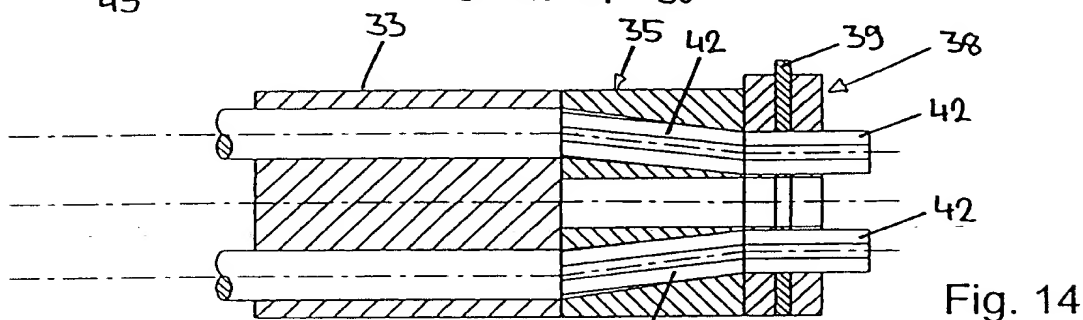


Fig. 14

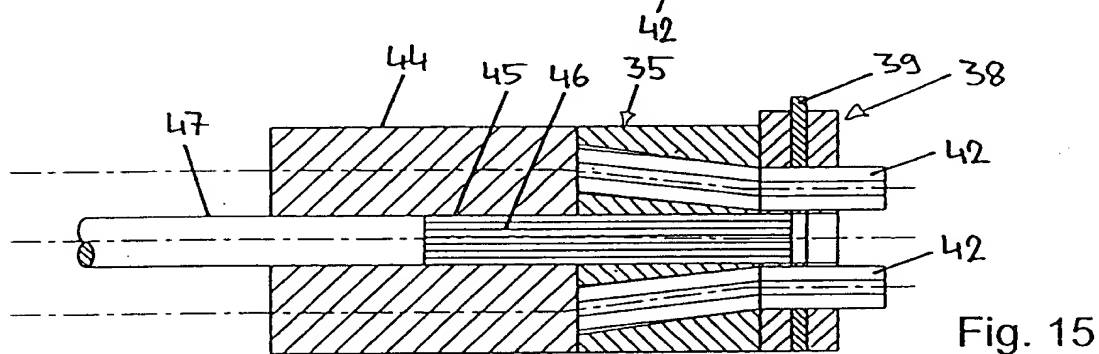


Fig. 15

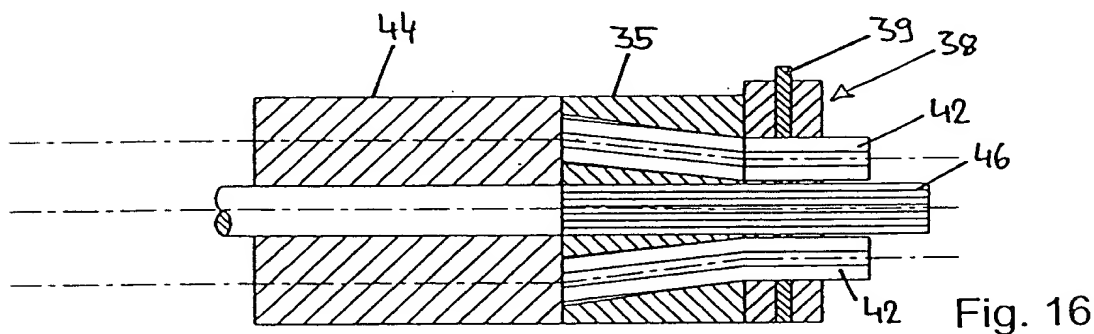


Fig. 16

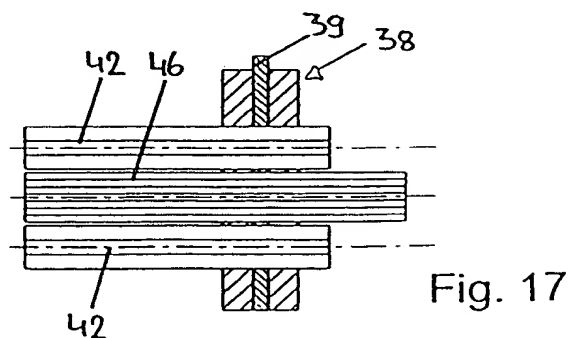


Fig. 17

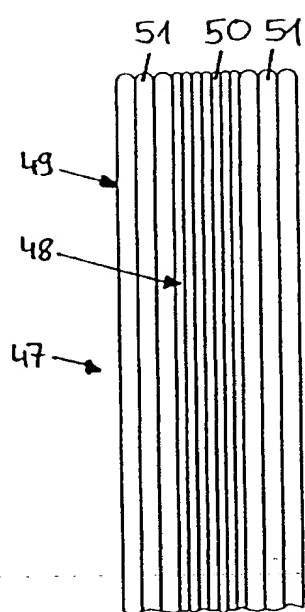


Fig. 18

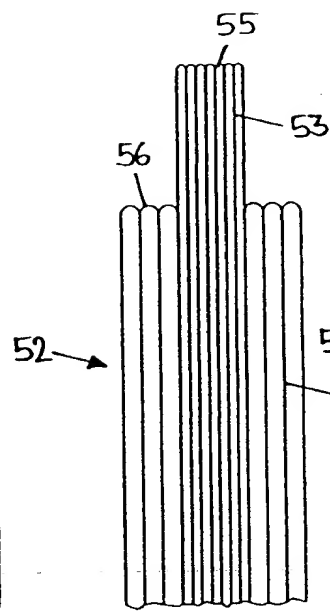


Fig. 19

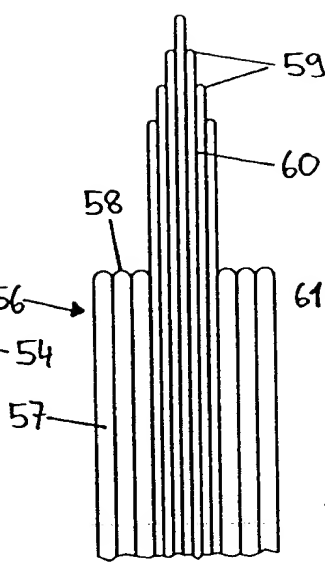


Fig. 20

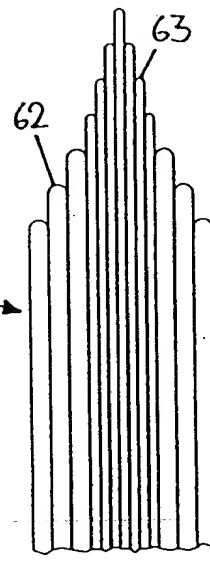


Fig. 21

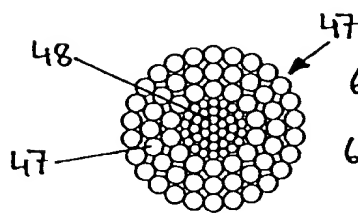


Fig. 22

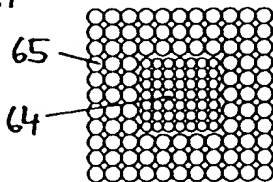


Fig. 23

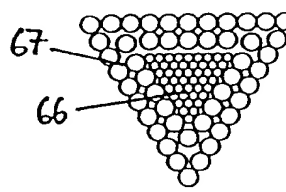


Fig. 24

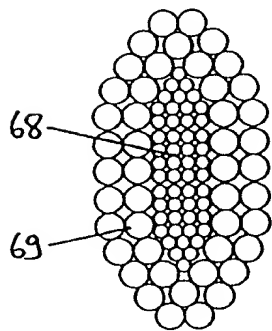


Fig. 25

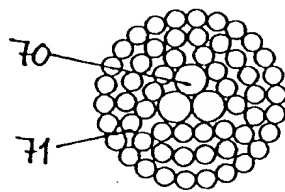


Fig. 26

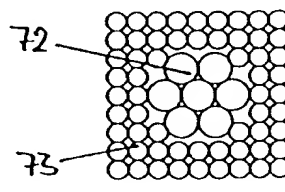
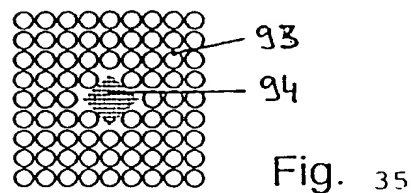
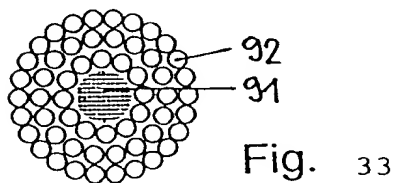
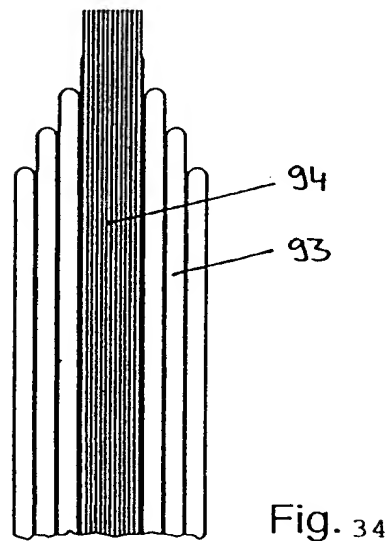
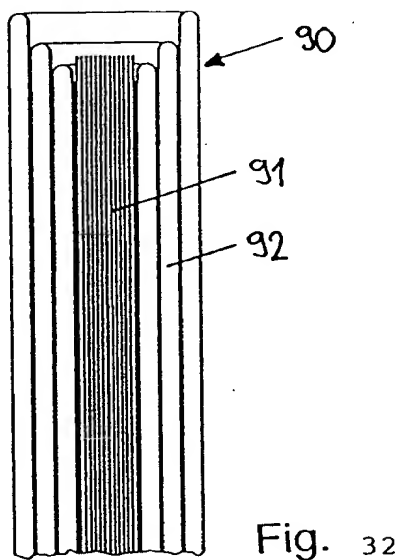
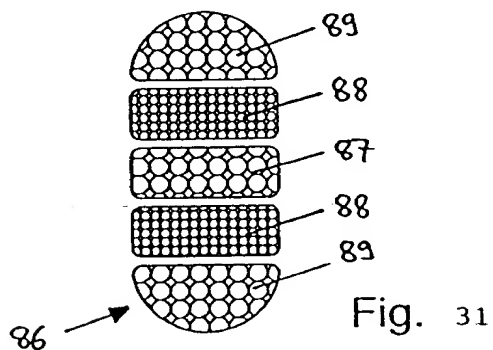
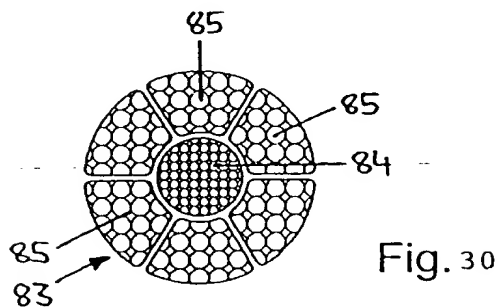
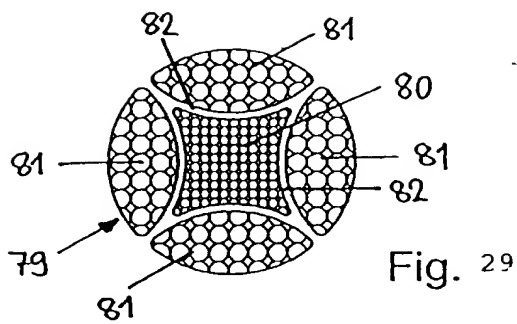
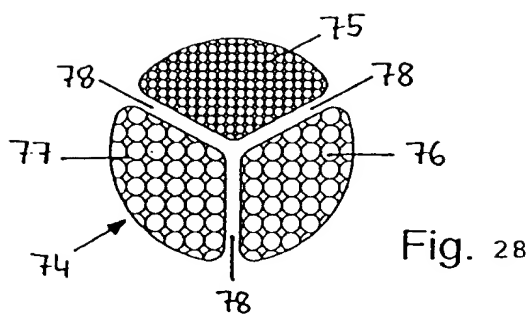
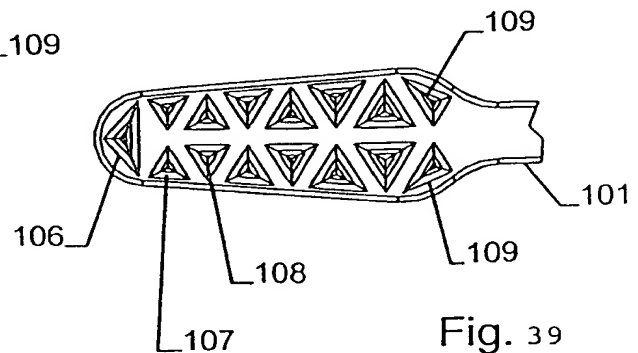
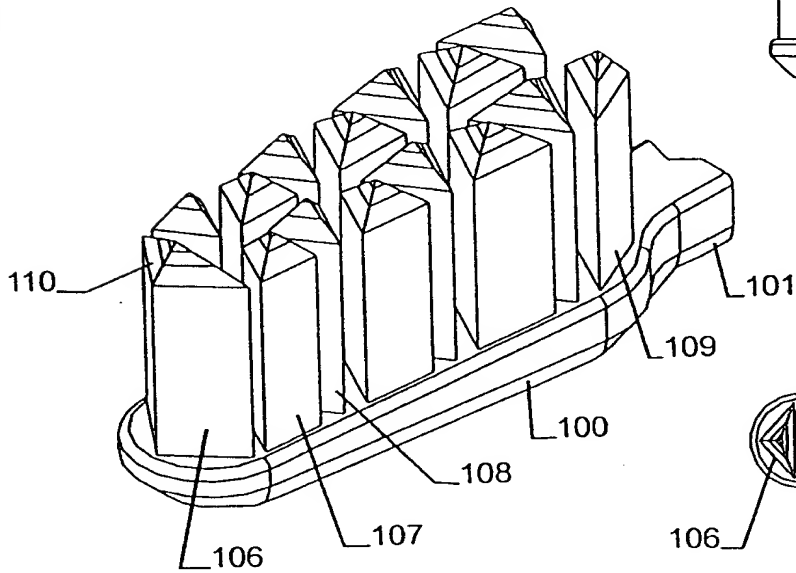
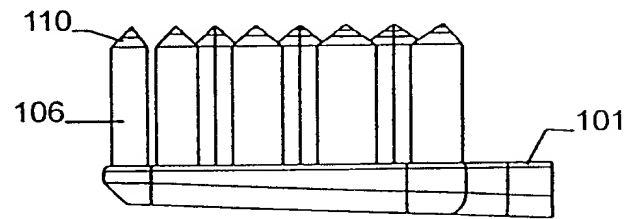
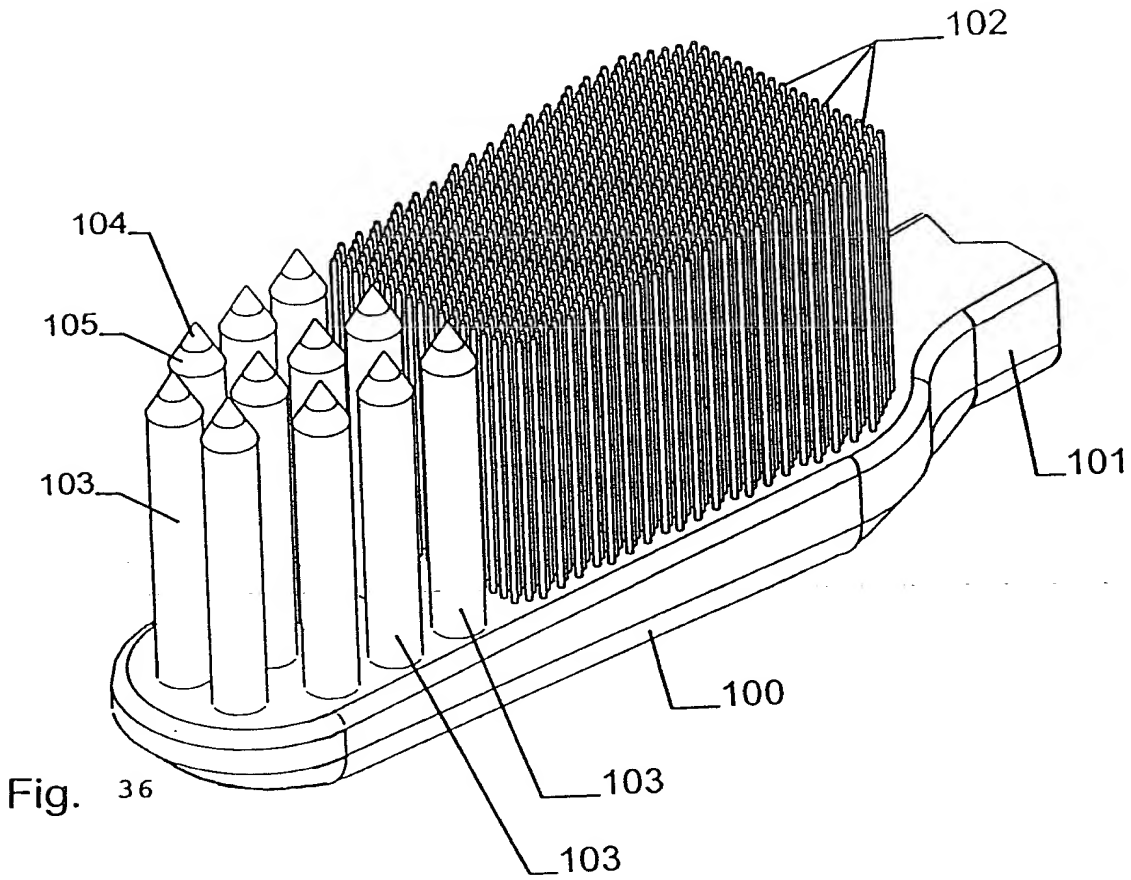
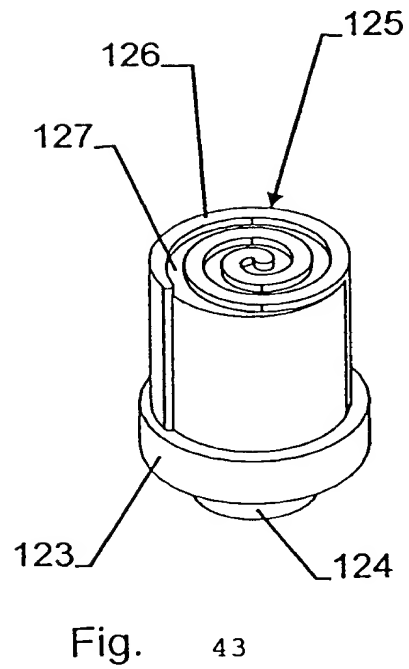
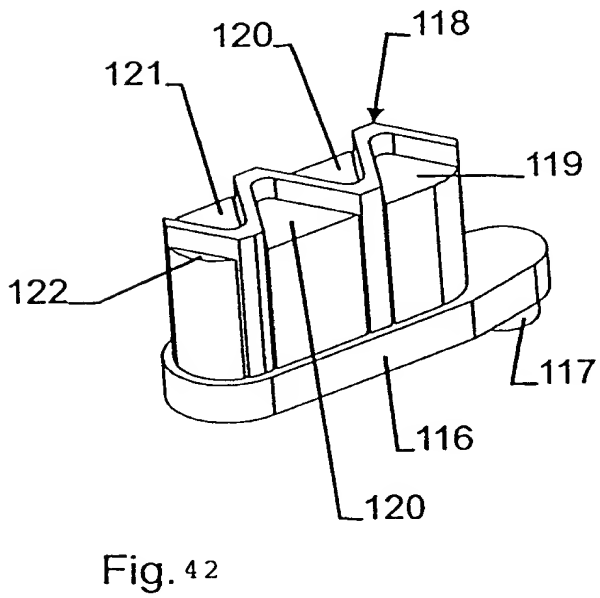
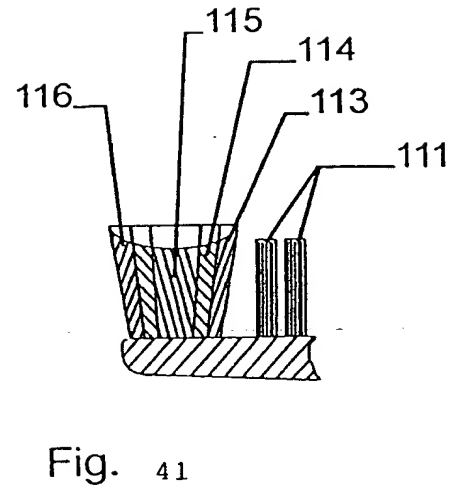
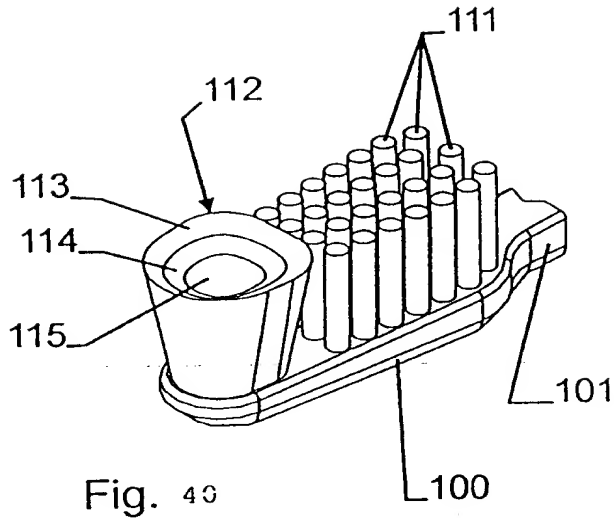


Fig. 27



09/914450







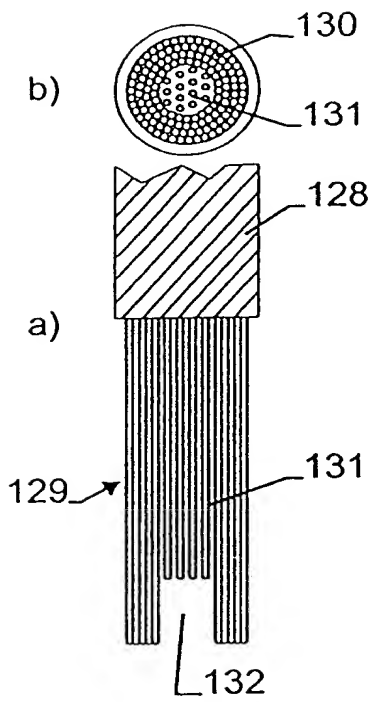


Fig. 44

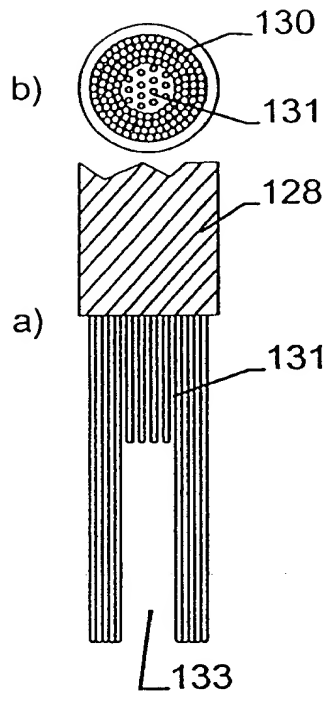


Fig. 45

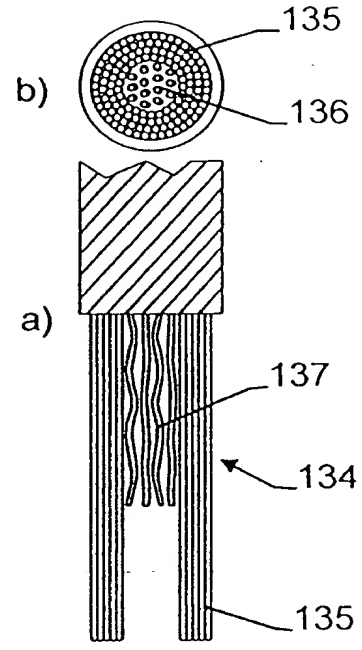


Fig. 46

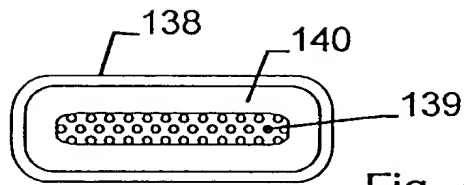


Fig. 48

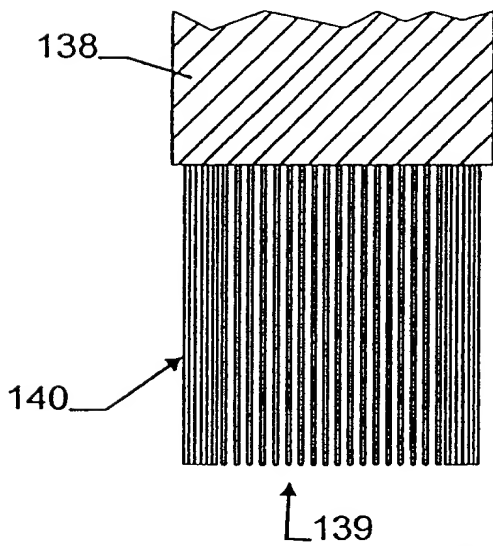


Fig. 47

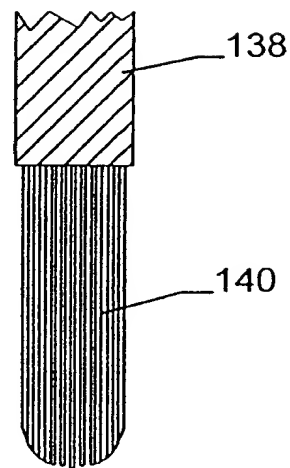


Fig. 49